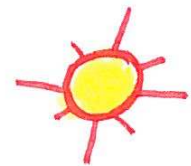


Sistemas Dinamicos ;  
una introduccion a la  
teoria geometrica.

IMUS , Sevilla Julio 2015



Modelos matematicos para el estudio de fenomenos de evolucion temporal.

VARIABLES DE ESTADO: magnitudes usadas para la descripcion del sistema en todo instante.

Sistemas finito-dimensionales:

vector de estado  $x(t) = (x_1(t), x_2(t), \dots, x_n(t)) \in \mathbb{R}^n$

Sistemas continuos :  $t \in \mathbb{R}$

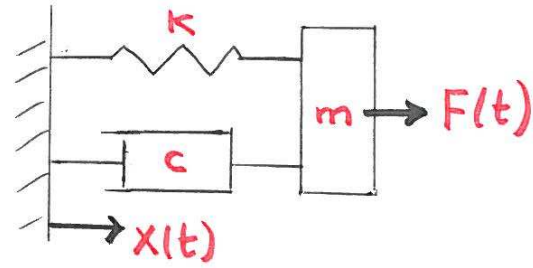
$$\frac{dx}{dt} = f(x, t) \quad f: \mathbb{R}^n \times \mathbb{R} \rightarrow \mathbb{R}^n$$

sistemas de ecuaciones diferenciales ordinarias, que resultan de la aplicación de leyes de evolución local.

Caso autónomo :  $\frac{dx}{dt} = f(x) \quad f: \mathbb{R}^n \rightarrow \mathbb{R}^n$

→ si  $x_{n+1} = t \Rightarrow \dot{x}_{n+1} = 1$ , 'truco' para reducir el caso general al caso autónomo.

Un primer ejemplo:  
masa-muelle-amortiguador



Ley local: inercia = fuerza

$$m \frac{d^2 x}{dt^2} = -kx - c \frac{dx}{dt} + F(t)$$

Defino:  $x_1 = x$ ,  $x_2 = \dot{x} \Rightarrow \dot{x}_1 = \dot{x} = x_2$   
 $\dot{x}_2 = \ddot{x} = -\frac{k}{m}x - \frac{c}{m}\dot{x} + \frac{F(t)}{m}$

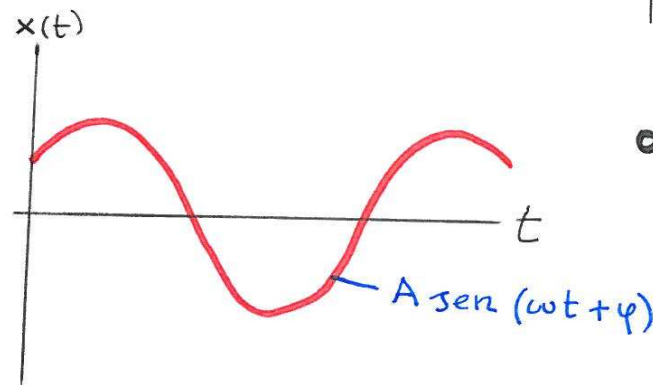
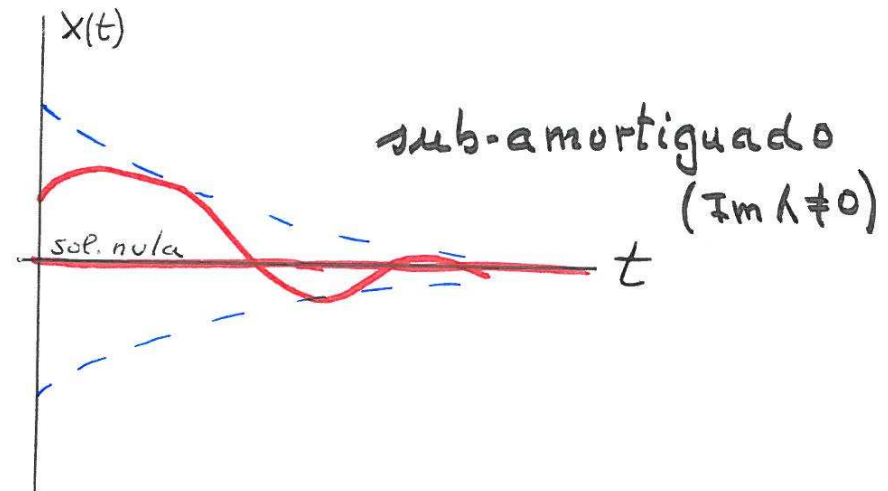
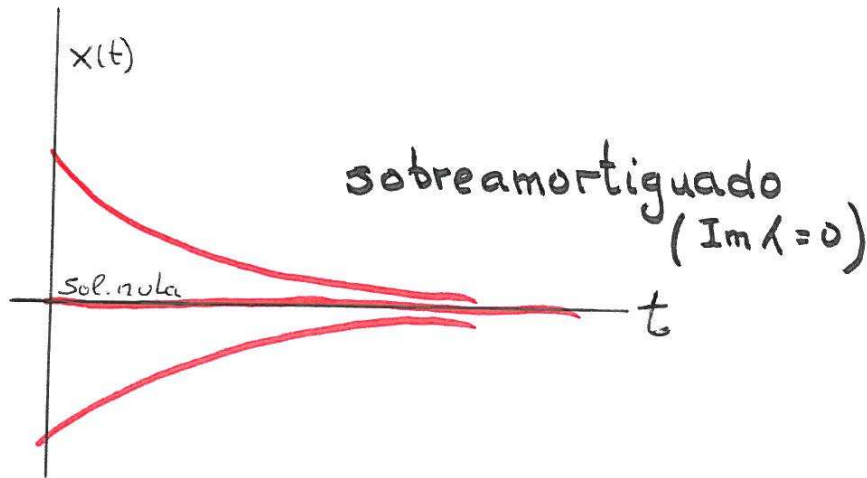
$$\begin{pmatrix} \dot{x}_1 \\ \dot{x}_2 \end{pmatrix} = \begin{pmatrix} x_2 \\ -\frac{k}{m}x_1 - \frac{c}{m}x_2 + \frac{F(t)}{m} \end{pmatrix} = f(x_1, x_2, t)$$

1 grado de libertad  $\equiv$  2 variables de estado.

Solucion de Euler:  $e^{\lambda t}$ ,  $\lambda \in \mathbb{C}$  (autónomo  $\equiv F=0$ )

$$k > 0, c > 0 \Rightarrow \operatorname{Re} \lambda < 0$$

( ¡  $k < 0$ ;  $c < 0$  ! ; investigar )



oscilador armónico ( $\operatorname{Re} \lambda = 0$ ,  
 $\operatorname{Im} \lambda = \omega$ )  
 $c = 0$  ;  $\omega^2 = \frac{k}{m}$   
 $\ddot{x} + \omega^2 x = 0$

Sistema Lineal : fuerzas dependen linealmente  
de la posición y la velocidad  
(; resorte no lineal ; amortiguador no lineal ! investigar)

Representación matricial :

$$\begin{pmatrix} \dot{x}_1 \\ \dot{x}_2 \end{pmatrix} = \begin{pmatrix} 0 & 1 \\ -\frac{k}{m} & -\frac{c}{m} \end{pmatrix} \begin{pmatrix} x_1 \\ x_2 \end{pmatrix} + \begin{pmatrix} 0 \\ \frac{F(t)}{m} \end{pmatrix} = A \begin{pmatrix} x_1 \\ x_2 \end{pmatrix} + \vec{b}(t)$$

Solución de Euler ( $F=0$ ) :  $e^{\lambda t} \vec{v}$ ,  $\vec{v} \in \mathbb{R}^2$

(; como se calculan  $\lambda, \vec{v}$ ; que relación tienen con  
la matriz  $A$ )

## Teoría Geométrica (cualitativa; topológica)

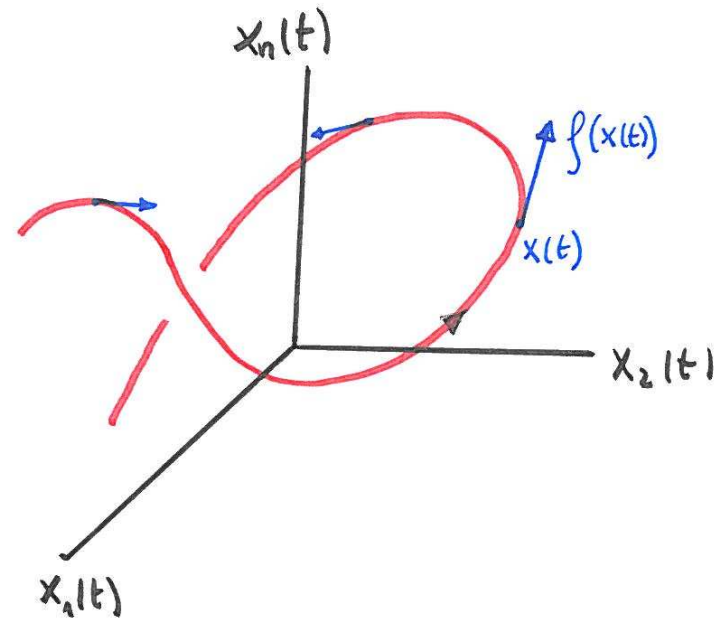
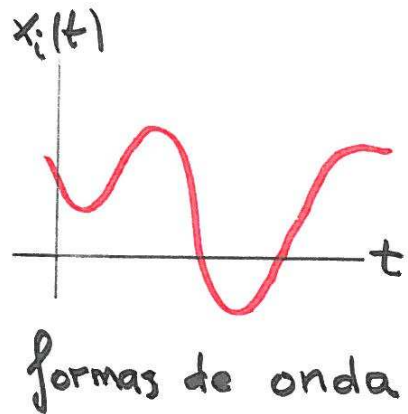
- NEWTON en sus **PRINCIPIA (1687)** toma, explícitamente, como modelo los Elementos de Euclides: diagramas, dibujos, razonamientos al estilo de la geometría euclídea.
- LAGRANGE en su **MECHANIQUE ANALITIQUE (1788)** afirma en el prólogo: "... el lector no encontrará ni una sola figura en esta obra..."

→ POINCARÉ en su serie de trabajos

"Sur les courbes définies par les équations différentielles" (1881-86) resucita el punto de vista geométrico, motivado precisamente por problemas de Mecánica Celeste; introduce ideas y objetos geométricos completamente nuevos.



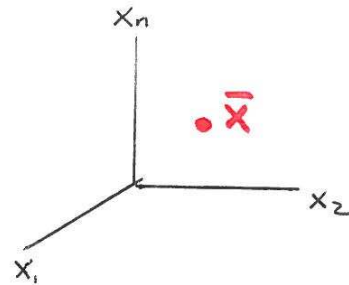
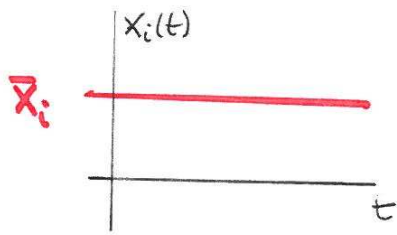
La Idea:  $\frac{dx}{dt} = f(x)$   $x(t) = (x_1(t), \dots, x_n(t))$



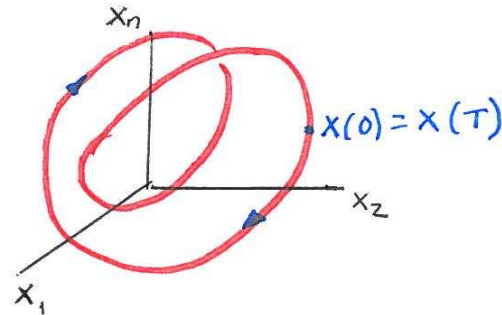
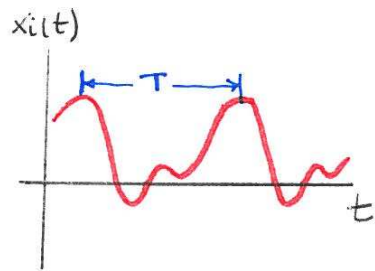
curva en el espacio de estados  
|||  
órbita

→ Si  $x(t)$  es solución  $\Rightarrow x(t+\kappa)$  es tb. solución  $\forall \kappa \in \mathbb{R} \Rightarrow$   
Cada órbita representa  $\infty$  soluciones

Equilibrio  $\equiv$  solución constante :  $x(t) = \bar{x} \Rightarrow \dot{x} = 0 \Rightarrow f(\bar{x}) = 0$   
 $\rightarrow$  la órbita es un punto



Solución periódica :  $x(t+T) = x(t), \forall t$   $T \equiv$  periodo  
 $\rightarrow$  la órbita es una curva cerrada



# Estabilidad de equilibrios (cualitativa; local)

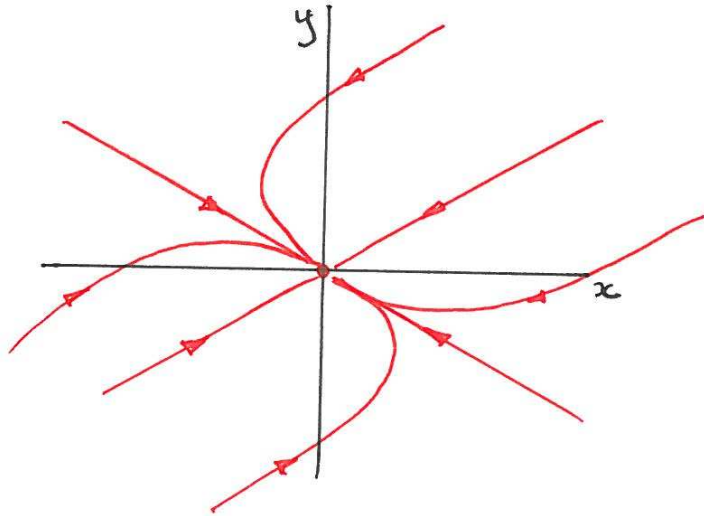
→  $\bar{x}$  es **estable** si toda solución que comienza cerca ( $x(0)$  cerca de  $\bar{x}$ ) permanece cerca ( $x(t)$  cerca de  $\bar{x}$  para  $t > 0$ )

→  $\bar{x}$  es **inestable** si no es estable (!)

→  $\bar{x}$  es **asintóticamente estable** si toda solución que comienza cerca ( $x(0)$  cerca de  $\bar{x}$ ) tiende asintóticamente a  $\bar{x}$  ( $x(t) \rightarrow \bar{x}$  cuando  $t \rightarrow +\infty$ )

Sistema lineal plano :  $\begin{pmatrix} \dot{x} \\ \dot{y} \end{pmatrix} = A \begin{pmatrix} x \\ y \end{pmatrix}$   $A$   $2 \times 2$

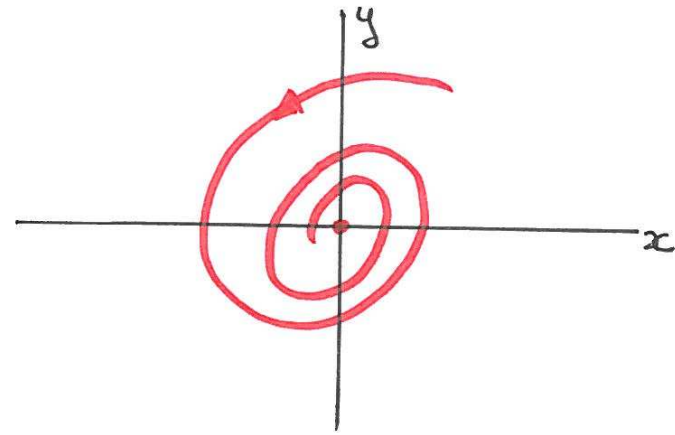
→ recordar : solución  $e^{\lambda t} \vec{v}$ ,  $\lambda$  autovalor  
 $\vec{v}$  autovector



$$\lambda_1 \in \mathbb{R}, \lambda_2 \in \mathbb{R}, \lambda_1 < 0, \lambda_2 < 0$$

$(0,0)$  equilibrio tipo NODO As. Est.

cfz. caso sobreamortiguado

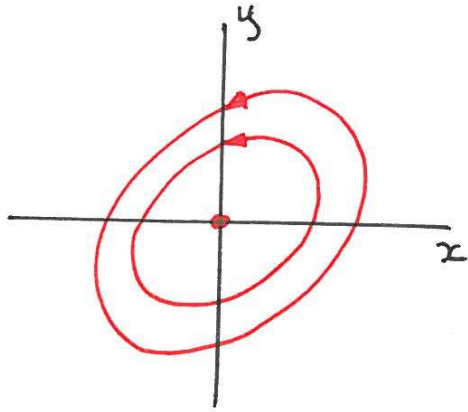


$$\operatorname{Re} \lambda < 0, \operatorname{Im} \lambda \neq 0, \lambda_1 = \bar{\lambda}_2$$

$(0,0)$  equilibrio tipo FOCO As. Est.

cfz. caso subamortiguado

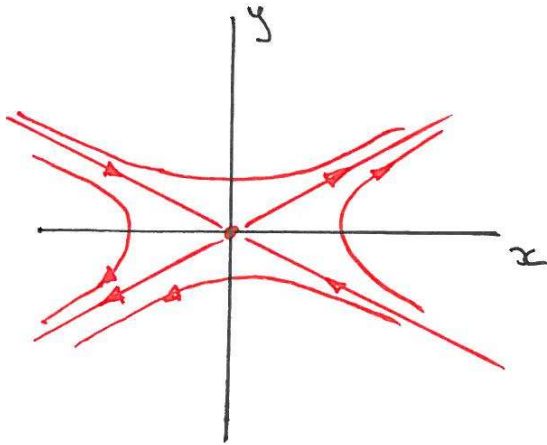
→ los casos con signos positivos corresponden a inestabilidad.



$$\lambda_1 = \lambda_2 = \omega i$$

$(0,0)$  equilibrio tipo CENTRO estable

cfr. caso oscilador armonico:  $\ddot{x} + \omega^2 x = 0$   
 $\dot{x} = y$



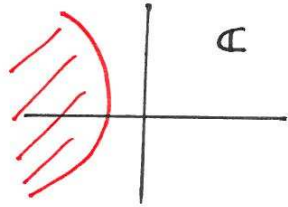
$$\lambda_1, \lambda_2 \in \mathbb{R}, \lambda_1 > 0, \lambda_2 < 0$$

$(0,0)$  equilibrio tipo SILLA inestable.

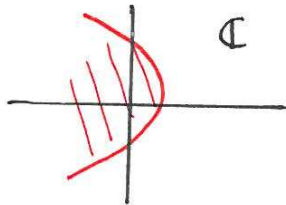
cfr. caso oscilador anarmónico:  $\ddot{x} - \omega^2 x = 0$  (investigar)  
 $\dot{x} = y$

Estabilidad de sistemas lineales :  $\dot{x} = Ax$ ,  $x \in \mathbb{R}^n$ ,  $A_{n \times n}$

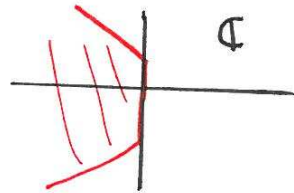
I)  $\text{Re } \lambda < 0$ ,  $\forall \lambda$  autovalor de  $A \Rightarrow$  equilibrio en el origen es  
Asintóticamente Estable



II) existe  $\lambda$  autovalor de  $A$  con  $\text{Re } \lambda > 0 \Rightarrow$  equilibrio en el origen  
es inestable



III)  $\text{Re } \lambda \leq 0$ ,  $\forall \lambda$  autovalor de  $A \Rightarrow$  puede ser estable o inestable  
dependiendo de la multiplicidad  
geométrica de los autovalores  
 $\lambda_0$ ,  $\text{Re } \lambda_0 = 0$



(investigar en  $\mathbb{R}^2$  y en  $\mathbb{R}^4$  (!))

Estabilidad de equilibrios mediante aproximación lineal.

$$\dot{x} = f(x), \quad x \in \mathbb{R}^n \quad ; \quad \bar{x} \text{ equilibrio} \Rightarrow f(\bar{x}) = 0$$

$$\dot{x} = f(x) = \underbrace{f(\bar{x})}_{=0} + \underbrace{Df(\bar{x})}_{=A} (x - \bar{x}) + \dots$$

$$\left( \frac{\partial f_i}{\partial x_j} \right)_{i,j} \rightarrow \text{matriz jacobiana de } f(x) \text{ en } \bar{x}$$

$$\text{Si } y = x - \bar{x} \Rightarrow \dot{y} = \dot{x} = Ay + \dots$$

estabilidad de  $\bar{x} \sim$  conducta local  $\sim x(t)$  cerca de  $\bar{x} \sim$   
 $\sim y$  cerca de  $0$

Sistema linealizado :  $\dot{\tilde{y}} = A \tilde{y}$  debe contener información

# Teorema (Lyapunov):

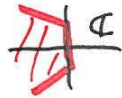
I) si  $\text{Re } \lambda < 0, \forall \lambda$  autovalor de  $A \Rightarrow \bar{x}$  es equilibrio Asintótico.  
Estable



II) si existe  $\lambda$  autovalor de  $A$  con  $\text{Re } \lambda > 0 \Rightarrow \bar{x}$  es equilibrio Inestable

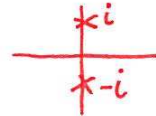


falta III) si  $\text{Re } \lambda \leq 0, \forall \lambda$  autovalor de  $A \Rightarrow$  ??? caso crítico;  
parte lineal no basta



Investigar (innumericamente?)  $\ddot{x} + x + ax^3 = 0$  ( $a \in \mathbb{R}$ ) (Rayleigh)

$\Rightarrow \dot{x} = y$   
 $\dot{y} = -x - ay^3$  ; parte lineal es centro estable.





# Sistemas Potenciales con un grado de libertad

$$\ddot{x} + c\dot{x} + V'(x) = 0 \iff \ddot{x} = - \underbrace{V'(x)}_{\substack{\text{fuerza que deriva} \\ \text{de la función potencial } V(x)}} - \underbrace{c\dot{x}}_{\text{amortiguamiento lineal}}$$

$$\begin{cases} \dot{x} = y \\ \dot{y} = -V'(x) - cy \end{cases} \quad \text{equilibrios} \equiv \begin{bmatrix} \dot{x} = y = 0 \\ V'(\bar{x}) = 0 \end{bmatrix} \equiv (\bar{x}, 0) \quad \text{con}$$

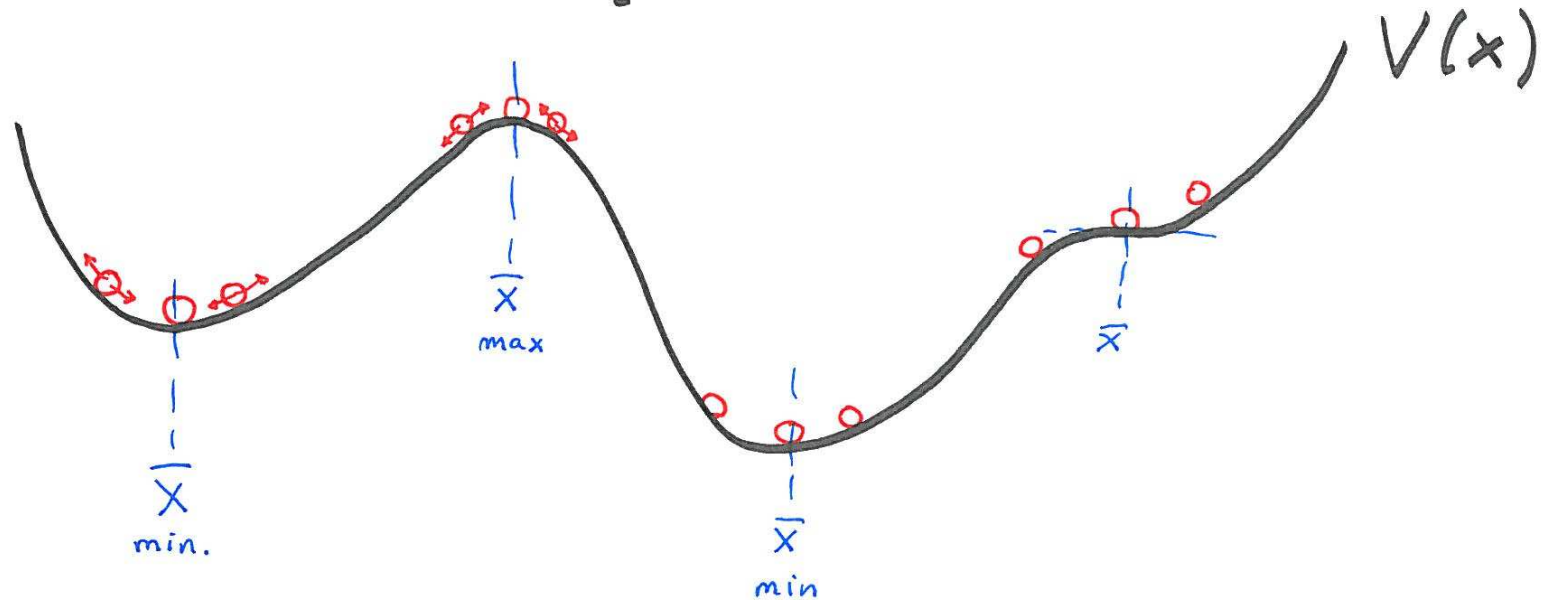
$\bar{x}$  pto crítico del potencial

Estabilidad de  $(\bar{x}, 0)$ :  $A = \begin{pmatrix} 0 & 1 \\ -V''(\bar{x}) & -c \end{pmatrix}$

si  $c > 0 \Rightarrow \lambda_1 + \lambda_2 = \text{traza } A = -c < 0$   
 $\lambda_1 \cdot \lambda_2 = \text{determinante } A = V''(\bar{x})$

Por tanto:

- si  $\bar{x} : V''(\bar{x}) > 0$  (minimo)  $\Rightarrow \operatorname{Re} \lambda_j < 0 \Rightarrow (\bar{x}, 0)$  Asint. Estable  
 $j=1,2$  (tipo nodo o foco)
- si  $\bar{x} : V''(\bar{x}) < 0$  (máximo)  $\Rightarrow \operatorname{Det.} A < 0 \Rightarrow \lambda_1 > 0 \Rightarrow (\bar{x}, 0)$  Inestable  
 $\lambda_2 < 0$  (tipo silla)
- si  $\bar{x} : V''(\bar{x}) = 0 \Rightarrow \lambda_1 = 0 \Rightarrow ???$   
 $\lambda_2 < 0$



Caso conservativo :  $c=0$  (sin amortiguamiento)

$$\text{sea } H(x, y) = \frac{y^2}{2} + V(x) = \underbrace{\frac{\dot{x}^2}{2}}_{E. \text{ cinética}} + \underbrace{V(x)}_{E. \text{ potencial}} = \text{Energía mecánica}$$

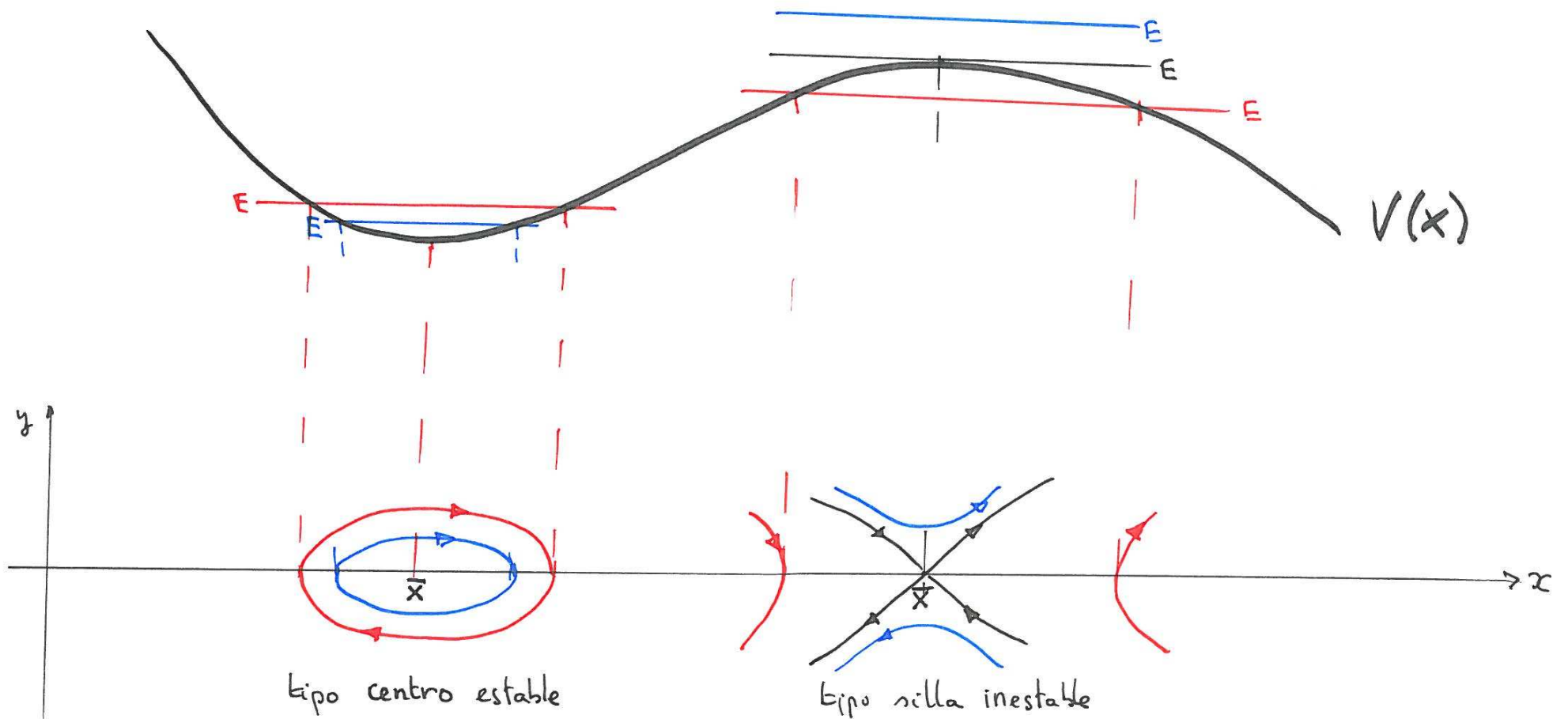
$$\text{sea } h(t) = H(x(t), y(t)) \Rightarrow$$

$$\frac{dh}{dt} = y \cdot \dot{y} + V'(x) \dot{x} = y (-V'(x)) + V'(x) \cdot y = 0 \Rightarrow h(t) = \text{cte}$$

$$\Rightarrow H(x, y) = \frac{y^2}{2} + V(x) = E \quad (\text{Energía Mecánica constante})$$

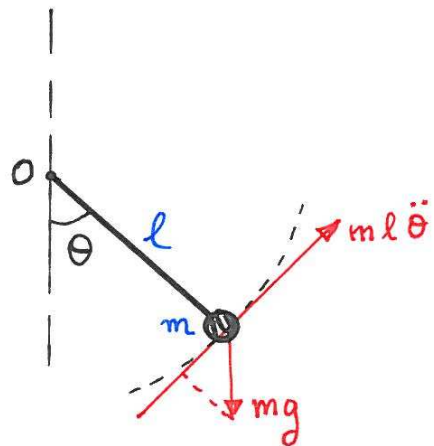
dicho de otro modo : las órbitas en el plano  $(x, y)$   
son las curvas de nivel de la función  $H(x, y)$

'Despejamos' "y" :  $y = \pm \sqrt{2} \cdot (E - V(x))^{1/2}$



→ efecto de añadir un 'poco' de rozamiento:  $\epsilon > 0$ ,  $|\epsilon| \ll 1$ .

Un segundo ejemplo: Pendulo simple (pedigrí)



$$m l \ddot{\theta} = -m g \sin \theta \Rightarrow \ddot{\theta} + \omega^2 \sin \theta = 0$$

$$\omega^2 = g/l$$

$$V(\theta) = \omega^2 (1 - \cos \theta) \Rightarrow \ddot{\theta} + V'(\theta) = 0$$

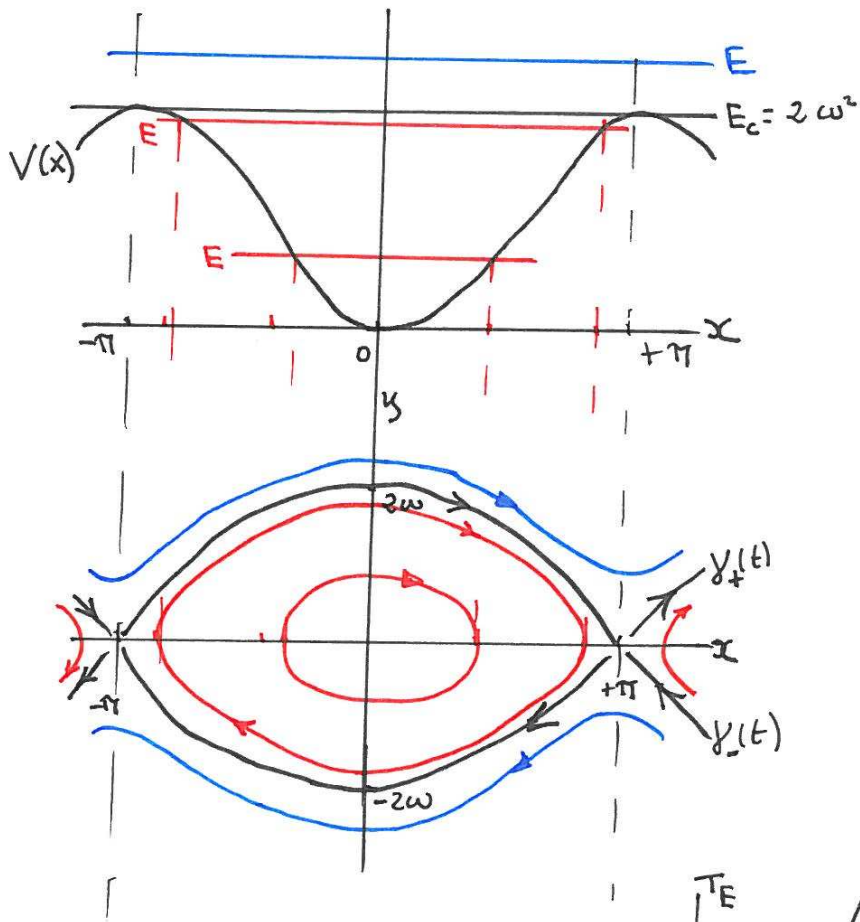
$$\begin{cases} x = \theta \\ y = \dot{\theta} \end{cases} \Rightarrow \begin{cases} \dot{x} = y \\ \dot{y} = -V'(x) = -\omega^2 \sin x \end{cases}$$

$(x, y) \in S^1 \times \mathbb{R}$  cilindro

equilibrios:  $\left\{ \begin{array}{l} \dot{\theta} = y = 0 \\ \cos \theta = \cos x = 0 \end{array} \right\} \quad x = 0, \pm\pi \Rightarrow \begin{array}{l} (0, 0) \text{ centro estable} \\ (\pi, 0) \text{ silla inestable} \\ \text{(pendulo invertido)} \end{array}$

$$\underbrace{\frac{y^2}{2}}_{\text{cinética}} + \underbrace{\omega^2 (1 - \cos x)}_{\text{potencial}} = E$$

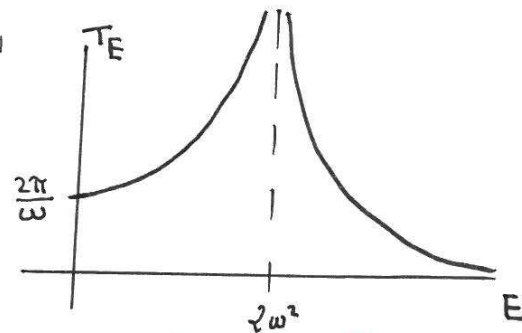
; linealización en  $\theta = 0 \rightarrow \ddot{\tilde{\theta}} + \omega^2 \tilde{\theta} = 0$   
osc. armónico (isócrono)  
 $\omega = \sqrt{g/l}$



$E > 2\omega^2$  orbitas periódicas de rotación  
 (cerradas en  $S^1 \times \mathbb{R}$ )  
 $\theta(t+T_E) = \theta(t) + 2\pi$   
 $\dot{\theta}(t+T_E) = \dot{\theta}(t)$

$E = 2\omega^2$  péndulo invertido  $\theta = \pm\pi, \dot{\theta} = 0$   
 separatriz  $\gamma_{\pm}(t) : \gamma_{\pm}(0) = 0$   
 $\dot{\gamma}_{\pm}(0) = \pm 2\omega$   
 $\lim_{t \rightarrow +\infty} \gamma_{\pm}(t) = \pm\pi$  con  $t \rightarrow +\infty$   
 $\lim_{t \rightarrow -\infty} \gamma_{\pm}(t) = \mp\pi$  con  $t \rightarrow -\infty$

$0 < E < 2\omega^2$  orbitas periódicas de libración  
 $\theta(t+T_E) = \theta(t)$   
 $\dot{\theta}(t+T_E) = \dot{\theta}(t)$



¡¡ No Isócrono !!

¿ y los relojes de péndulo ? ; Investigar...!

Orbitas cerradas  $\equiv$  Soluciones periódicas

$\dot{x} = f(x)$ ,  $x \in \mathbb{R}^n$   $y(t)$ , solución T-periódica:  $y(t+T) = y(t)$   
 $\forall t$   
 $\Rightarrow$  órbita cerrada  $\gamma \subseteq \mathbb{R}^n$

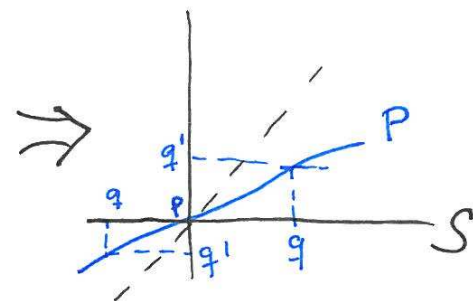
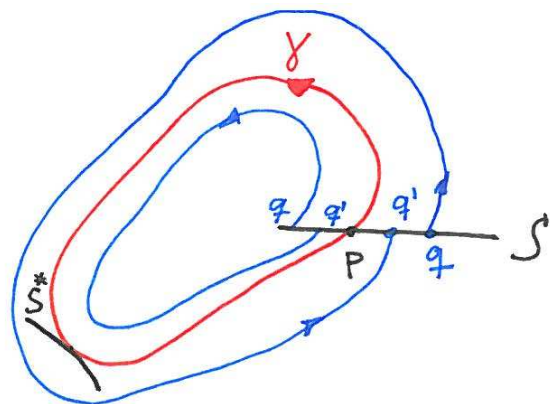
$\rightarrow$  para su estudio local Poincaré introduce la sección transversal y la aplicación de primer retorno y la correspondiente dinámica discreta

Caso plano.

$$p = \gamma(0) = \gamma(T)$$

$T > 0$ , periodo mínimo.

$S$  sección transversal  
a  $\gamma$  en  $p$ ;  $\dim S = 1$



Dado  $q \in S$ , próximo a  $p$ , la correspondiente solución que arranca en  $q$  cortará a la sección  $S$ , pasado un tiempo cercano a  $T$ , en un punto  $q'$ .

Definimos la aplicación de primer retorno  $P: S \rightarrow S$ ,  $P(q) = q'$   
es claro que  $P(p) = p$   
es decir " $p$ " es pto. fijo de  $P$ .

Obtenemos, localmente, una dinámica discreta (unidimensional)

$$q_{k+1} = P(q_k), \quad k \in \mathbb{Z}$$



Sistemas discretos :  $t \in \mathbb{Z}$

$$x(k+1) = F(x(k)) \quad F: \mathbb{R}^n \rightarrow \mathbb{R}^n \text{ función de iteración.}$$
$$x(k) = (x_1(k), \dots, x_n(k)) \in \mathbb{R}^n, \quad k \in \mathbb{Z} \text{ (ó } k \in \mathbb{N})$$

$x(0), x(1) = F(x(0)), x(2) = F(x(1)), \dots \equiv$  órbita hacia adelante de  $x(0)$

si existe  $F^{-1}$  :  $x(0), x(-1) = F^{-1}(x(0)), x(-2) = F^{-1}(x(-1)), \dots \equiv$  órbita hacia atrás

Como surgen:

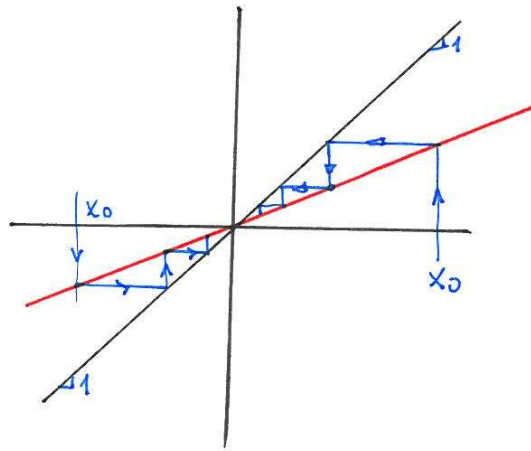
- a partir de sistemas continuos : discretizando el tiempo para esquemas numéricos ; "muestreando" el estado (vid. caso anterior)
- al modelar fenómenos específicos ; v.g. dinámica poblacional.

Iteración unidimensional. Caso lineal:  $x_{k+1} = \lambda x_k$ ,  $x_k \in \mathbb{R}$

- el origen es pto fijo.
- la órbita (solución) es una sucesión (progresión) geométrica:

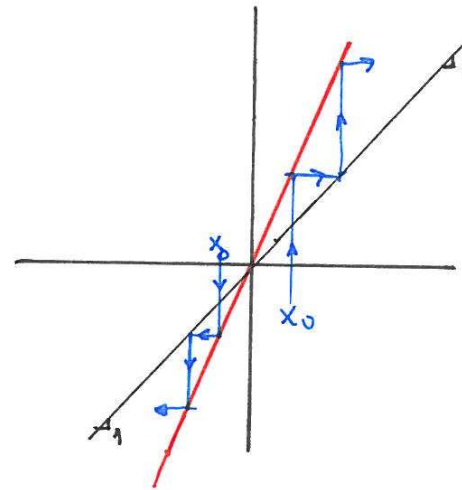
$$x_k = \lambda^k x_0$$

- Gráficamente:



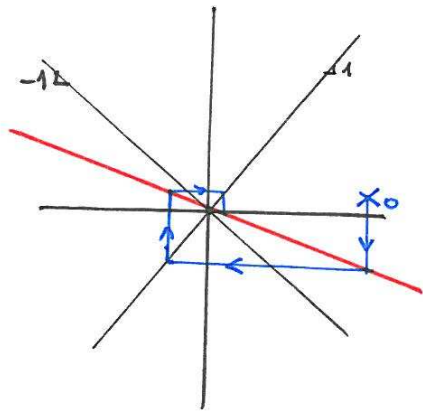
$$0 < \lambda < 1$$

$x_k \rightarrow 0$  con  $k \rightarrow +\infty$   
monotonamente.



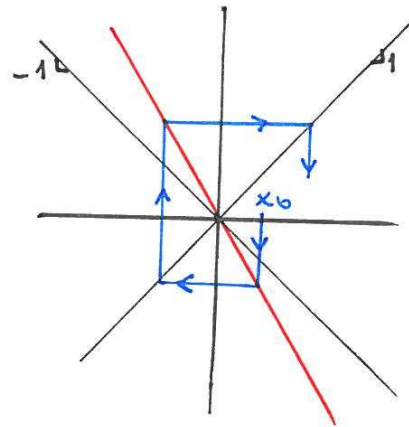
$$1 < \lambda$$

$|x_k| \rightarrow \infty$  con  $k \rightarrow +\infty$   
monotonamente.



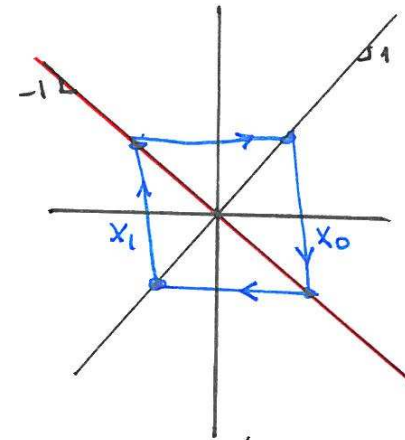
$$-1 < k < 0$$

$x_k \rightarrow 0$  con  $k \rightarrow +\infty$   
oscilatoriate.



$$k < -1$$

$|x_k| \rightarrow \infty$  con  $k \rightarrow +\infty$   
oscilatoriate.



$$k = -1$$

$\{x_0, x_1, x_0, x_1, \dots\}$   
orbitas 2-periodicas

Conclusion:  $0 < |k| < 1 \Rightarrow 0$  pto. fijo atractivo (asint. est.)  
 $|k| > 1 \Rightarrow 0$  pto. fijo repulsivo (inest.)

Iteración unidimensional. Puntos fijos.

$$x_{k+1} = F(x_k), \quad x_k \in \mathbb{R} \quad ; \quad \bar{x} \text{ pto fijo} \Leftrightarrow F(\bar{x}) = \bar{x}$$

(análogo a equilibrio)

análisis local mediante linealización:

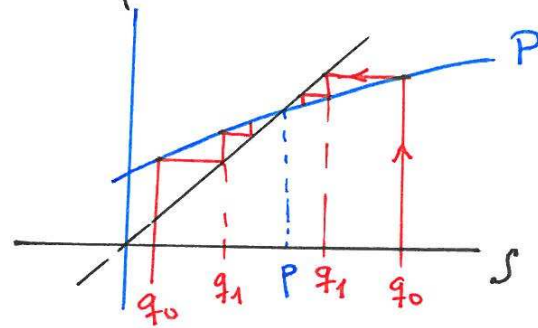
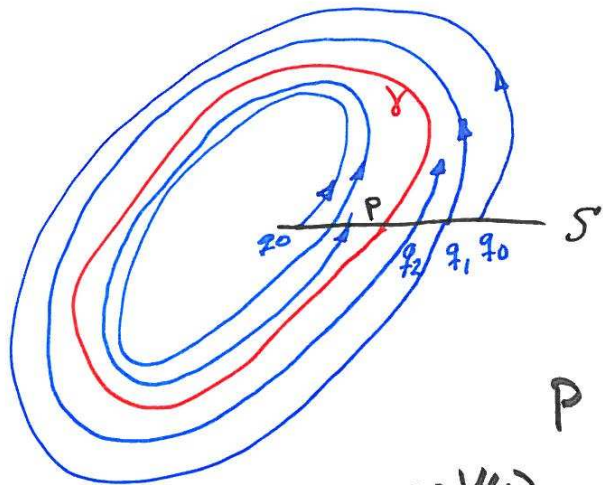
$$x_{k+1} - \bar{x} + \bar{x} = F(x_k - \bar{x} + \bar{x}) = F(\bar{x}) + F'(\bar{x})(x_k - \bar{x}) + \dots$$

$$y_k = x_k - \bar{x} \Rightarrow y_{k+1} = \lambda y_k + \dots \quad \lambda = F'(\bar{x})$$

→ cerca de  $\bar{x}$ , la iteración lineal  $\tilde{y}_{k+1} = \lambda \tilde{y}_k$  debe proporcionar información:

- si  $0 < |\lambda| < 1 \Rightarrow \bar{x}$  es pto. fijo **ATRACTIVO** (asint. est.)
- si  $|\lambda| > 1 \Rightarrow \bar{x}$  es pto. fijo **REPULSIVO** (inest.)
- si  $\lambda = \pm 1 \Rightarrow$  ?? caso crítico.

Retornemos a las órbitas periódicas en el plano ...



$P$  aplicación de retorno sobre sección  $S$

$p = \gamma(0)$ , pto fijo  $P(p) = p$ ; computamos  $\lambda = P'(p)$

→ Si  $p$  es pto fijo aislado  $\Rightarrow \gamma$  es órbita periódica aislada  $\equiv$   
**CICLO LÍMITE**

→ Ya que las órbitas no pueden cortarse  $\Rightarrow P$  monótona  
 creciente

$$\Rightarrow P'(q) > 0, q \in S$$

→ La dinámica continua 'cerca' de  $\gamma$  viene representada por la  
 dinámica discreta de  $P$  'cerca' de su pto. fijo  $p$ .

## Estabilidad de orbitas periódicas.

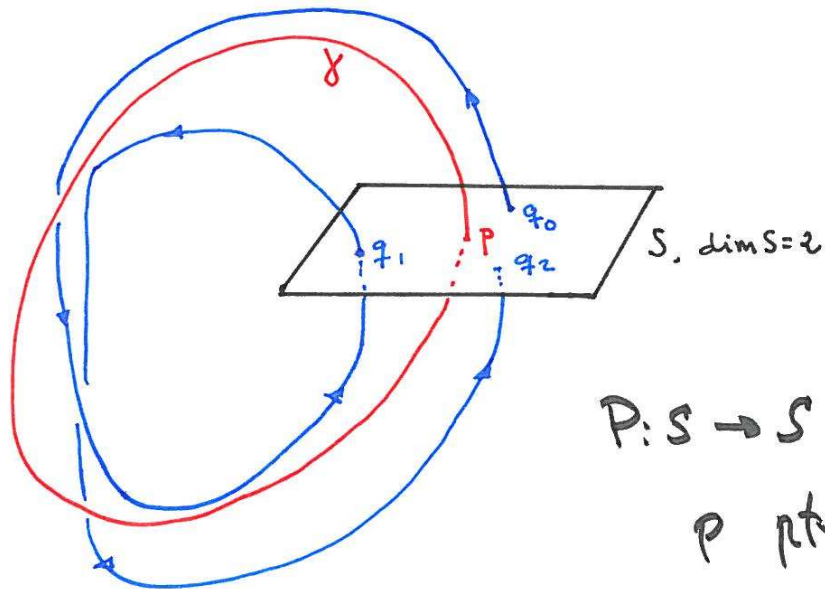
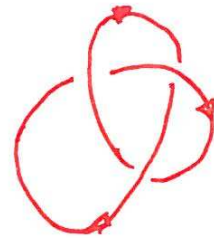
→ sea  $\lambda = P'(p)$ ,  $\lambda > 0$ ;  $\lambda \equiv$  multiplicador característico de  $\gamma$

• si  $\lambda < 1 \Rightarrow \gamma$  es orbitalmente asintóticamente estable  $\equiv$   
ciclo límite estable

• si  $\lambda > 1 \Rightarrow \gamma$  es orbitalmente asintóticamente inestable  $\equiv$   
ciclo límite inestable

→ Los ciclos límites estables representan las oscilaciones periódicas de interés en las aplicaciones: amplitud y periodo definidos y robustez frente a perturbaciones. Son las auto-oscilaciones generadas por los dispositivos electrónicos (RELOJES)

# Orbitas periódicas en 3-D.



$$\dot{x} = f(x), x \in \mathbb{R}^3$$

$$\gamma(t) \text{ T-periódica,}$$

$$p = \gamma(0)$$

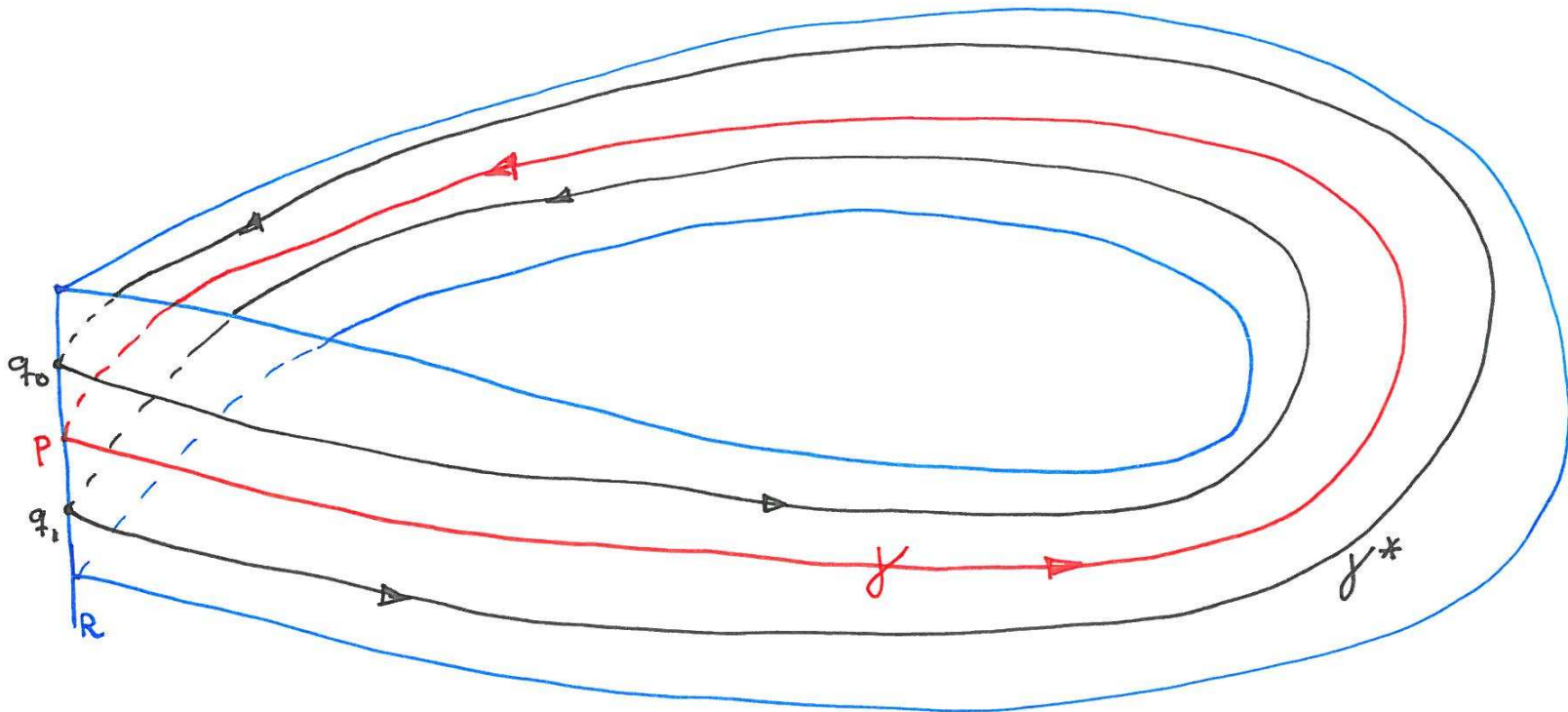
$$P: S \rightarrow S; q_{k+1} = P(q_k) \quad k \in \mathbb{N}$$

$$p \text{ pt fijo: } P(p) = p$$

linealización  $\Rightarrow DP(p)$   $2 \times 2$  ;

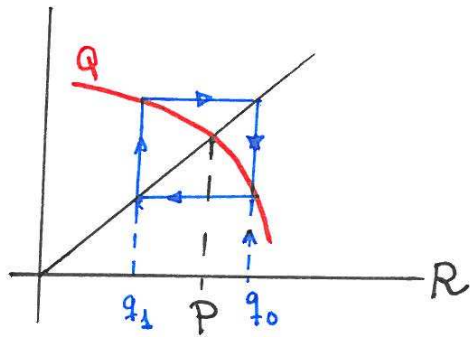
se prueba que  $\det DP(p) > 0 \Rightarrow P$  conserva la orientación como aplicación del plano en el plano

si  $\lambda_1, \lambda_2$  autovalores de  $DP(p) \Rightarrow \lambda_1 \cdot \lambda_2 > 0$  ,  
 ¡ pero pueden ser  $\lambda_1 < 0, \lambda_2 < 0$  !



$\gamma \subseteq S^1 \times \mathbb{R} \equiv$  banda de Möbius; y la suponemos invariante.

tomamos sección  $R$  y la aplicación de retorno sobre ella  $\Phi$ , no conserva la orientación.



$q_1 = \Phi(q_0)$ ,  $q_0 = \Phi(q_1)$ ;  $\{q_0, q_1\}$  órbita discreta 2-periódica

$\Rightarrow \gamma^*$  órbita periódica de periodo  $\sim 2T$   
(sub-armónica)

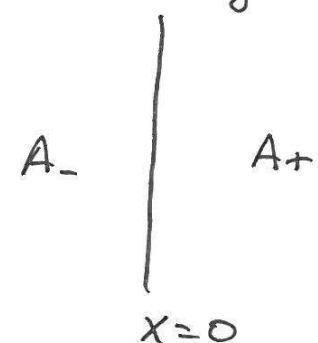


Cómo generamos ciclos límites estables.

- nos limitaremos al caso plano.
- si queremos ser realistas tenemos que tener en cuenta la disipación de energía...
- y por tanto tenemos que considerar sistemas no lineales y que reciban energía...
- la oscilación periódica observada será, pues, el resultado de un balance....

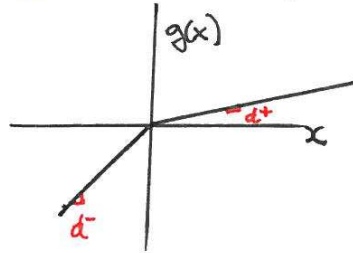
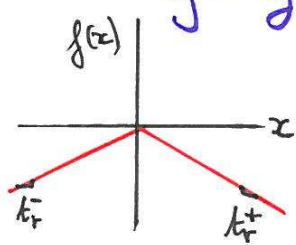
Un escenario simple (... quizás el más simple...)

- sistemas lineales a trozos: las funciones lineales a trozos proporcionan buenas aproximaciones a las características no lineales de componentes electrónicos (diodos, transistores, amplificadores operacionales, ...) y, por tanto, son usadas con frecuencia en el modelado de circuitos.

- $\begin{pmatrix} \dot{x} \\ \dot{y} \end{pmatrix} = \underline{F}_{\pm}(x, y)$  sistema continuo y con 2 zonas  
 $F_{-}(x, y) = A_{-} \begin{pmatrix} x \\ y \end{pmatrix} + b$ ,  $x \leq 0$   
 $F_{+}(x, y) = A_{+} \begin{pmatrix} x \\ y \end{pmatrix} + b$ ,  $x \geq 0$   
 $A_{\pm} = \begin{pmatrix} a_{11}^{\pm} & a_{12} \\ a_{21}^{\pm} & a_{22} \end{pmatrix}$  ;  $b = \begin{pmatrix} b_1 \\ b_2 \end{pmatrix}$   


En condiciones genéricas  $a_{12} \neq 0$  (evitar el desacople) y mediante un cambio lineal de variables, obtenemos la forma canónica de Liénard:

$$\begin{aligned} \dot{x} &= f(x) - y = t_r^{\pm} x - y, & t_r^{\pm} &= \text{traza de } A_{\pm} \\ \dot{y} &= g(x) - a = d^{\pm} x - a, & d^{\pm} &= \text{determinante de } A_{\pm} \end{aligned}$$



equilibrios:

$$x_+ = a/d^+, \quad y_+ = t_r^+ x_+$$

$$x_- = a/d^-, \quad y_- = t_r^- x_-$$

real si  $x_+ > 0$   
virtual si  $x_+ < 0$

real si  $x_- < 0$   
virtual si  $x_- > 0$

Un primer resultado : si existe un ciclo límite entonces  $tr^+ \cdot tr^- < 0$

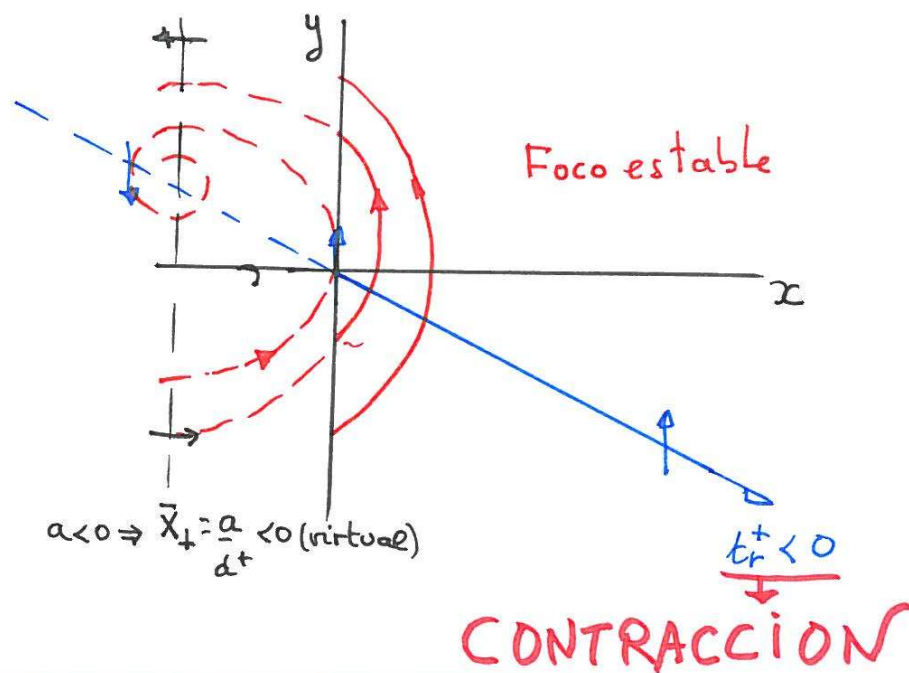
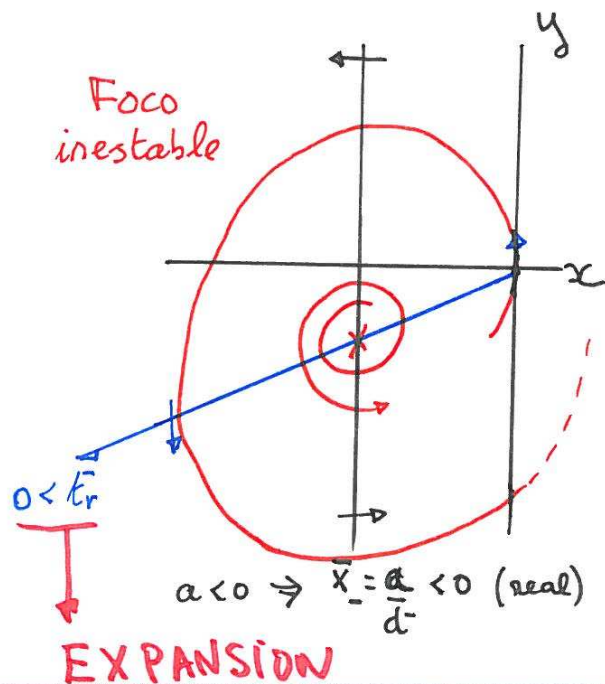
- es decir en una zona la dinámica tiene que ser expansiva ( $traza > 0$ ) y en la otra tiene que ser contractiva ( $traza < 0$ ); recordemos que  $tr^+ = \text{div} F^+$ ,  $tr^- = \text{div} F^-$

Una segunda condición : las orbitas cerradas de los sistemas planos contienen al menos un equilibrio en su interior.

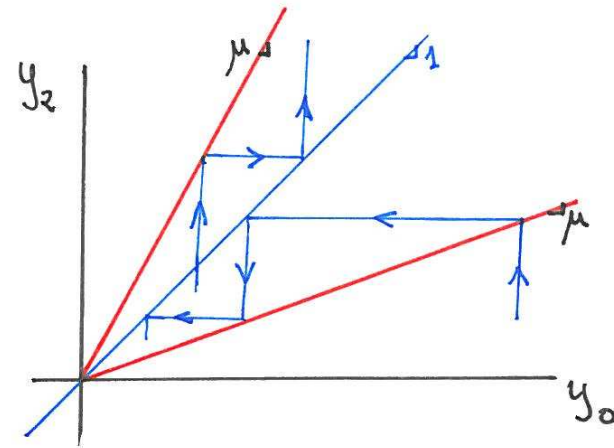
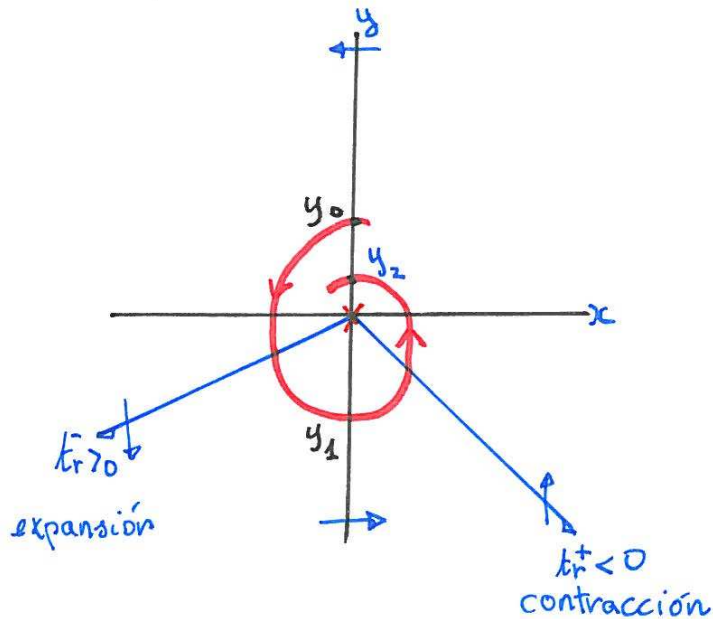
Tenemos a nuestra disposición varias combinaciones; elegimos la dinámica foco en ambas zonas.

$$0 < (tr^\pm)^2 < d^\pm \Rightarrow \lambda = \frac{tr^\pm}{2} \pm (w^\pm)i \text{ autovalores de } A_\pm$$

con  $(w^\pm)^2 = d^\pm - (tr^\pm)^2/4$  • (recordar  $\lambda^2 - tr \lambda + det = 0$ )



El último 'ingrediente' que necesitamos es una medida del balance entre contracción y expansión. Para ello estudiamos el caso homogéneo,  $a=0 \Rightarrow$  equilibrio en  $(0,0)$



$$y_2 = \mu y_0$$

$$\mu = e^{\left(\frac{tr^+}{\omega^+} + \frac{tr^-}{\omega^-}\right) \frac{\pi}{2}}$$

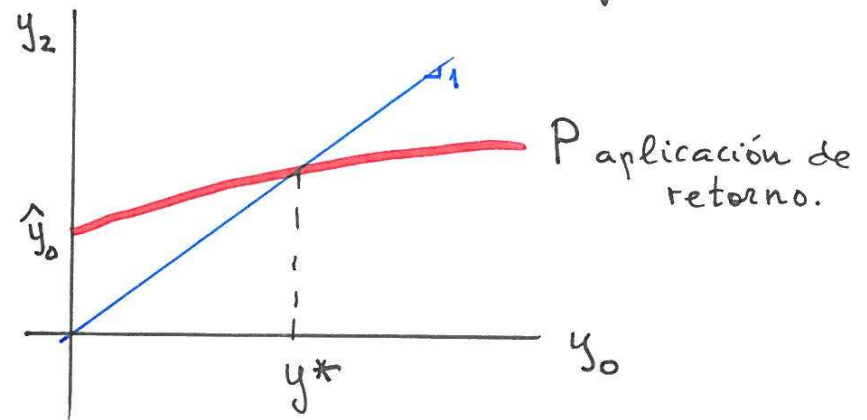
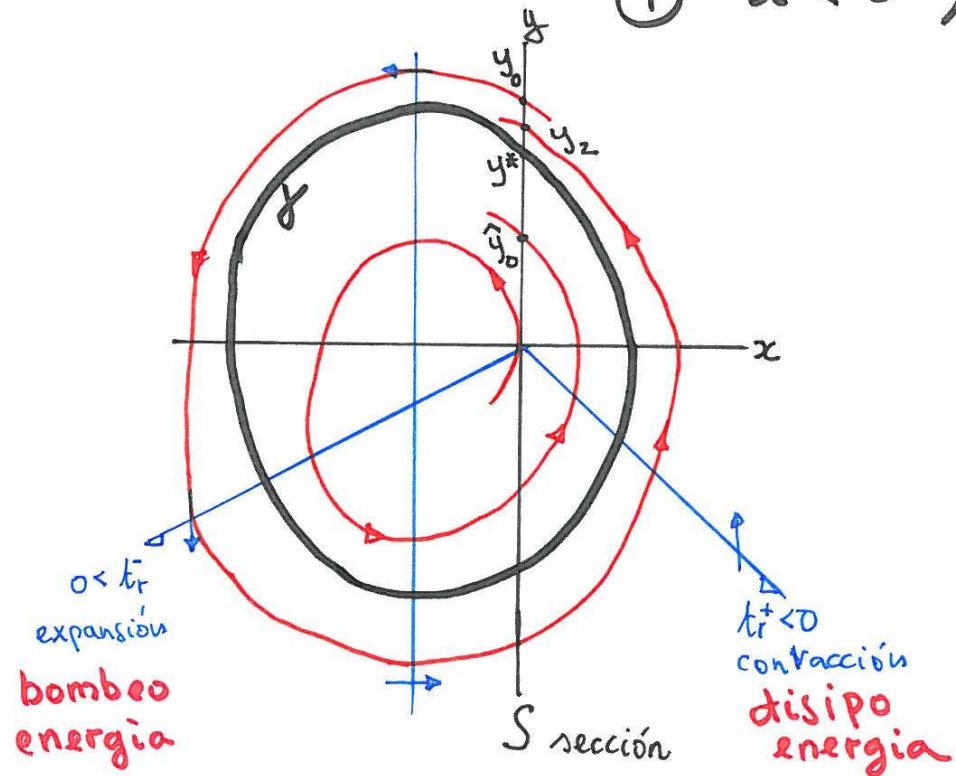
sea  $\rho = \frac{tr^+}{\omega^+} + \frac{tr^-}{\omega^-}$

- Si  $\rho < 0 \Rightarrow \mu < 1 \Rightarrow$  contracción global (Foco est.)
- Si  $\rho = 0 \Rightarrow \mu = 1 \Rightarrow$  centro global
- Si  $\rho > 0 \Rightarrow \mu > 1 \Rightarrow$  expansión global (Foco inest.)

La receta: ①  $t_r^+ < 0, t_r^- > 0$  ②  $(t_r^\pm)^2 / 4 < d^\pm$  foco-foco

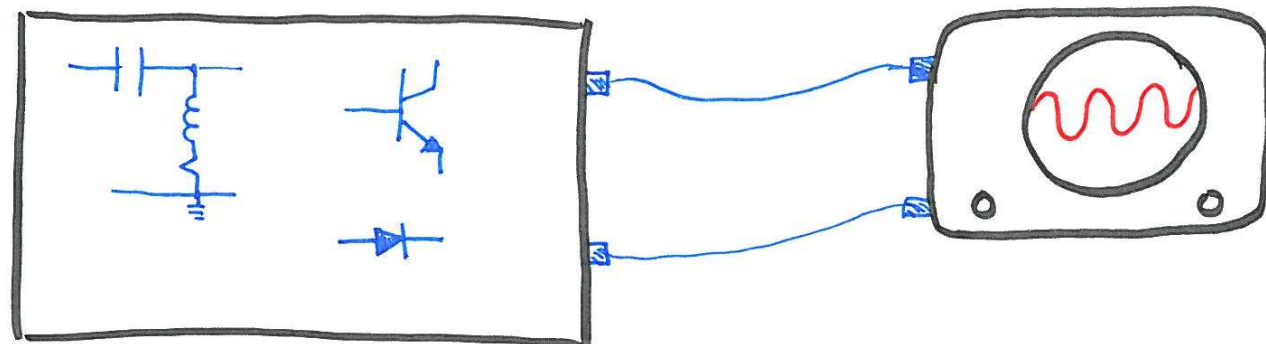
③  $\frac{t_r^+}{\sqrt{d^+}} + \frac{t_r^-}{\sqrt{d^-}} < 0$ , contracción global

④  $a < 0$ , equilibrio real en  $x < 0$  es foco inest.



al aplicar la 'receta' obtenemos un único ciclo límite estable  $\oint$

\* investigar otras combinaciones: foco-nodo, foco-silla, ... (!)



¿ Que falta ?



# Bifurcaciones en sistemas parametrizados.

$$\dot{x} = f(x, \mu) \quad \begin{array}{l} x \in \mathbb{R}^n \text{ espacio de estados} \\ \mu \in \mathbb{R}^k \text{ espacio de parámetros (de control)} \end{array}$$

bifurcación  $\equiv$  cambio en la conducta dinámica al variar los parámetros

→ La situación más simple considera los cambios en el número y estabilidad de los equilibrios.

→ Abordaremos el caso de los sistemas potenciales con 1 grado de libertad.

Tenemos  $V(x, \mu)$   $x \in \mathbb{R}$ ,  $\mu \in \mathbb{R}$  familia uniparamétrica de funciones potenciales. Recordemos:

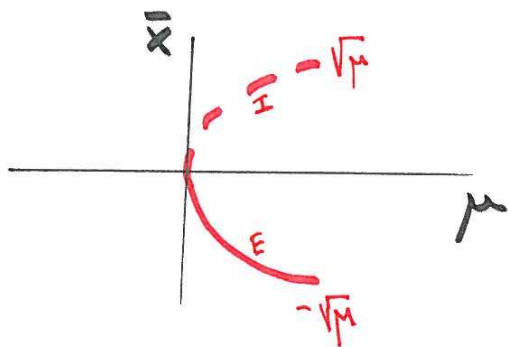
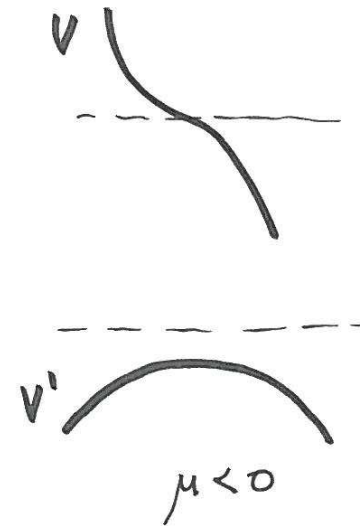
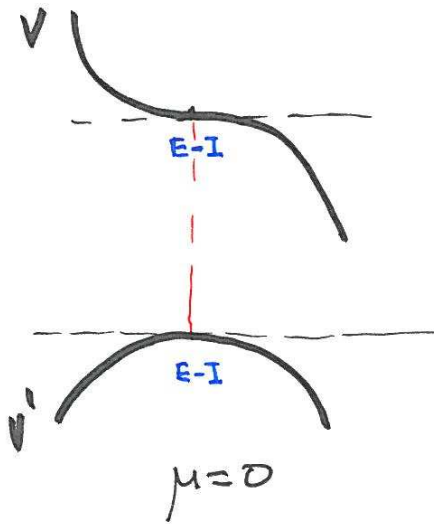
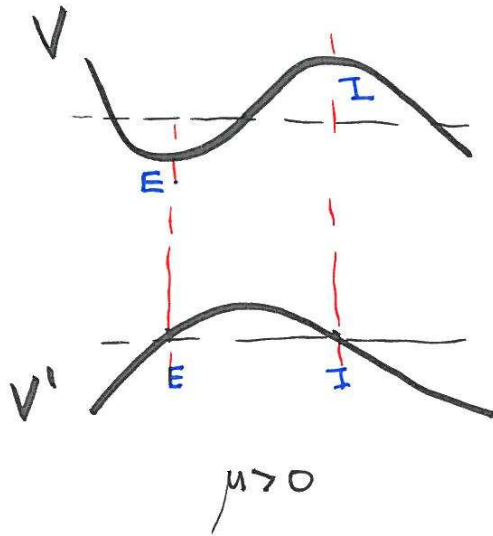
$\bar{x}$  equilibrio  $\Rightarrow V'(\bar{x}, \bar{\mu}) = 0$  (pto crítico)  
para  $\bar{\mu}$

y además si  $V''(\bar{x}, \bar{\mu}) > 0 \Rightarrow \bar{x}$  estable (mínimo)  
 $V''(\bar{x}, \bar{\mu}) < 0 \Rightarrow \bar{x}$  inestable (máximo)

Veamos un par de escenarios y sus correspondientes aplicaciones.

Difurcación tipo pliegue o pto. x crítico (fold):

$$V(x, \mu) = \mu x - x^3/3 \quad (\text{forma canónica})$$

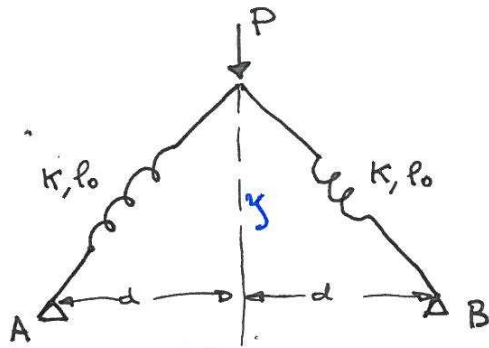


$$V' = \mu - x^2 \rightarrow \mu - \bar{x}^2 = 0$$

$$\rightarrow \bar{x}_\pm = \sqrt{\mu} \quad \mu > 0$$

2 equilibrios, uno estable y otro inestable se unen para el valor crítico del parámetro y desaparecen

# Modelo simple de un arco cargado.



$$V(y) = 2 \cdot \frac{k}{2} (l - l_0)^2 + Py$$

$$l^2 = y^2 + d^2$$

$\Rightarrow$  adimensional

$$\frac{V}{2kl_0^2} = \frac{1}{2} \left( \frac{l}{l_0} - 1 \right)^2 + \frac{P}{2kl_0} \cdot \frac{y}{l_0} ; \quad \tilde{l} = \frac{l}{l_0} ; \quad \tilde{y} = \frac{y}{l_0} ; \quad \mu = \frac{P}{2kl_0} ; \quad \boxed{p = \frac{d}{l_0} < 1}$$

$$\tilde{l}^2 = \tilde{y}^2 + p^2 \Rightarrow \tilde{l}(\tilde{y}) ; \quad 2 \tilde{l} \frac{d\tilde{l}}{d\tilde{y}} = 2\tilde{y}$$

$$\Rightarrow \tilde{V}(\tilde{y}, \mu, p) = \frac{1}{2} (\tilde{l}(\tilde{y}) - 1)^2 + \mu \tilde{y}$$

$$\frac{\partial \tilde{V}}{\partial \tilde{y}} = (\tilde{l}(\tilde{y}) - 1) \cdot \frac{d\tilde{l}}{d\tilde{y}} + \mu = (\tilde{l}(\tilde{y}) - 1) \frac{\tilde{y}}{\tilde{l}} + \mu = \tilde{y} - \frac{\tilde{y}}{\sqrt{p^2 + \tilde{y}^2}} + \mu$$

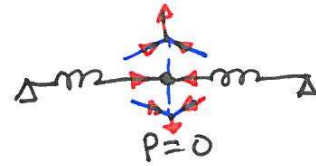
equilibrio  $\frac{\partial \tilde{V}}{\partial \tilde{y}} = 0$

$\Rightarrow$

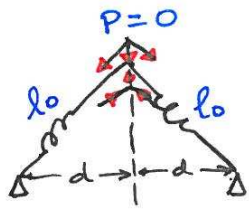
$$\boxed{\mu = -\tilde{y} + \frac{\tilde{y}}{\sqrt{p^2 + \tilde{y}^2}}}$$

curva en el plano  $\mu - \tilde{y}$

A ojo, sin matemáticas ... :  $d < l_0$

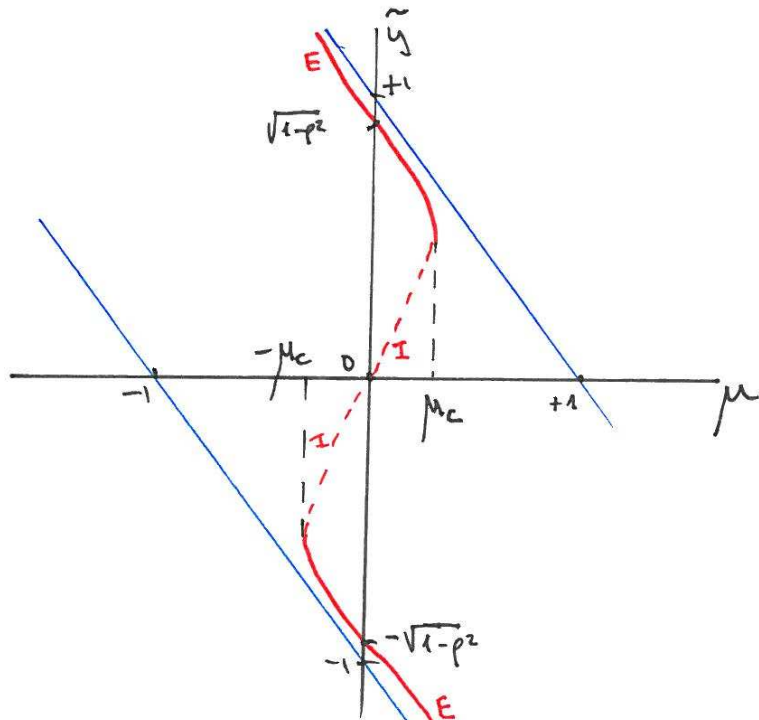


Equilibrio inestable  
en  $y=0, P=0$  ( $\tilde{y}=0, \mu=0$ )



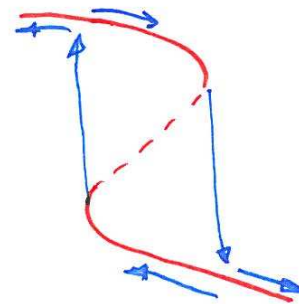
Equilibrio estable

en  $y = \pm \sqrt{l_0^2 - d^2}, P=0$  ( $\tilde{y} = \pm \sqrt{1-p^2}, \mu=0$ )



\* en  $\mu_c$  y  $-\mu_c$  se producen bifurcaciones tipo pliegue

\* globalmente tendríamos un doble pliegue y la consiguiente de histéresis

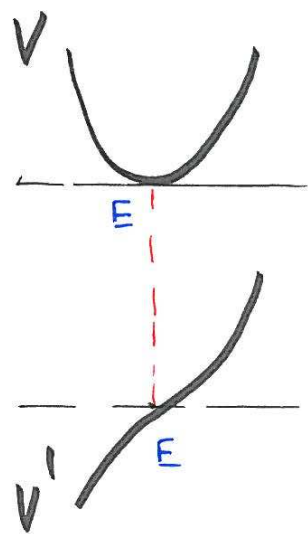


Tareas: calcular  $\frac{\partial^2 \tilde{V}}{\partial \tilde{y}^2}$  para obtener estabilidad;

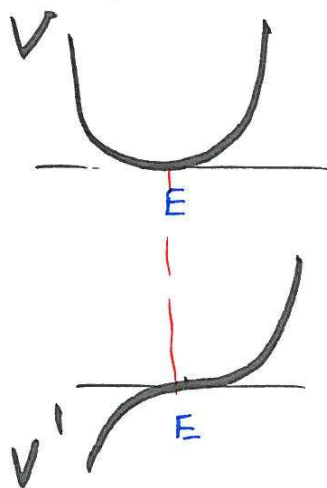
calcular  $\mu_c$ ; ¿y el caso  $l_0 < d$ ? 45

# Bifurcación tipo tridente (pitchfork)

$$V(x, \mu) = \mu \frac{x^2}{2} + \frac{x^4}{4} \quad (\text{par en } x) \quad (\text{simetría } x \rightarrow -x)$$

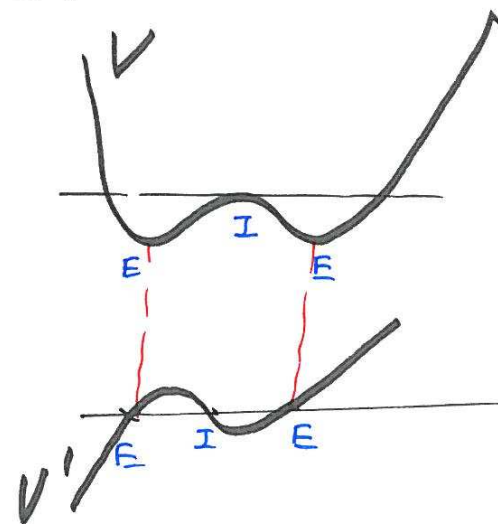


$\mu > 0$

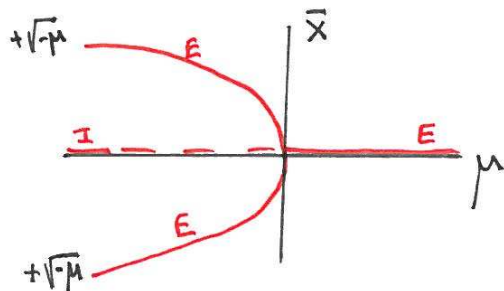


$\mu = 0$

$$V' = \mu x + x^3 = 0 \Rightarrow \bar{x}(\mu + \bar{x}^2) = 0$$

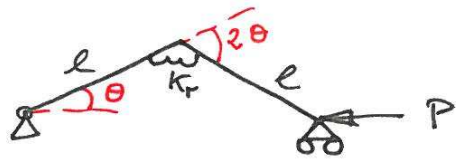


$\mu < 0$



el equilibrio en el origen pasa de ser estable ( $\mu > 0$ ) a ser inestable ( $\mu < 0$ ) y aparecen 2 equilibrios estables y simétricos.

# Modelo simple de pandeo



$$V(\theta) = \frac{1}{2} k_r (2\theta)^2 + P \cdot 2l \cos \theta \Rightarrow \text{adim.}$$

$$\frac{V}{4k_r} = \frac{\theta^2}{2} + \frac{P \cdot l}{2k_r} \cos \theta \Rightarrow \mu = \frac{P \cdot l}{2k_r}$$

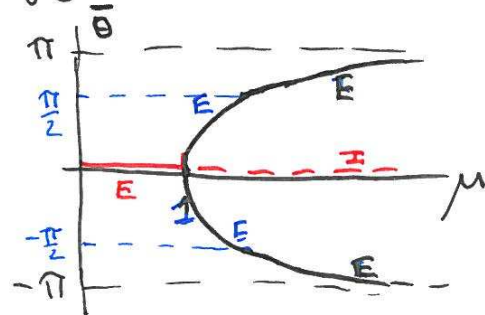
$$\tilde{V}(\theta, \mu) = \frac{\theta^2}{2} + \mu \cos \theta \Rightarrow \frac{\partial \tilde{V}}{\partial \theta} = \theta - \mu \sin \theta$$

equilibrios :  $\bar{\theta} - \mu \sin \bar{\theta} = 0 \Rightarrow \mu = \frac{\bar{\theta}}{\sin \bar{\theta}} \quad -\pi < \theta < \pi$

$$\frac{\partial^2 \tilde{V}}{\partial \theta^2}(\theta, \mu) = 1 - \mu \cos \theta$$

$$\bar{\theta} = 0, \text{ para todo } \mu$$

$$\Rightarrow \frac{\partial^2 \tilde{V}}{\partial \theta^2}(\theta, \mu) = 1 - \mu \left\{ \begin{array}{l} \mu < 1 \text{ estable} \\ \mu > 1 \text{ inestable} \end{array} \right.$$



para  $P > \frac{2k_r l}{e}$  la estructura pandea  
¿a cual de los dos equilibrios simetr.?  
(investigar 'imperfección')

## Bifurcaciones dinámicas . Bifurcación de Hopf.

→ Acabamos de ver bifurcaciones estáticas, que solo involucraban equilibrios y su estabilidad. Las llamadas bifurcaciones dinámicas involucran, además de las soluciones de equilibrio, soluciones más complejas. Vamos a limitarnos a la llamada bifurcación de Hopf, en la que asociada a la pérdida de estabilidad del equilibrio aparece una órbita periódica.



Bifurcación de Hopf en el plano.

$$\begin{pmatrix} \dot{x} \\ \dot{y} \end{pmatrix} = \begin{pmatrix} F(x, y, \mu) \\ G(x, y, \mu) \end{pmatrix}, \mu \in \mathbb{R}$$

Hay una solución de equilibrio para todo valor de  $\mu$  que su posición se sitúa en el origen:

$$F(0, 0, \mu) = 0$$

$$G(0, 0, \mu) = 0$$

Linealizamos:  $A(\mu) = \begin{pmatrix} \frac{\partial F}{\partial x} & \frac{\partial F}{\partial y} \\ \frac{\partial G}{\partial x} & \frac{\partial G}{\partial y} \end{pmatrix}_{(0,0)}$

La primera hipótesis es sobre el espectro de  $A(\mu)$ :

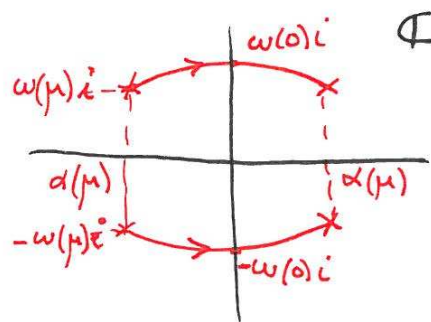
$$(H1) \quad \lambda, \bar{\lambda}(\mu) = \alpha(\mu) \pm \omega(\mu)i$$

$$\alpha(\mu) < 0, \quad \mu < 0$$

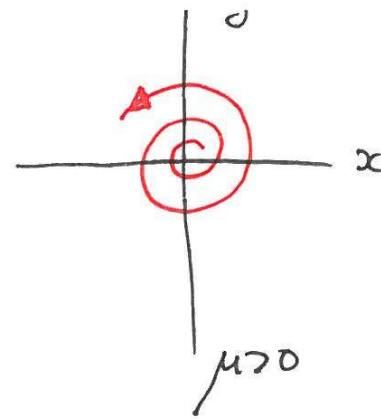
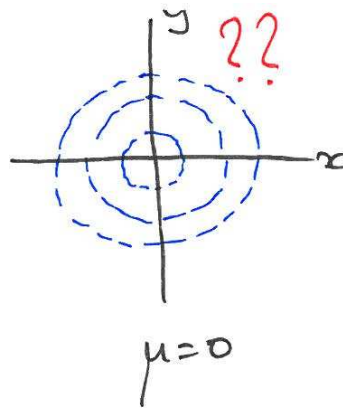
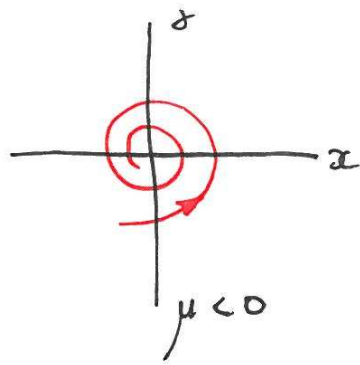
$$\alpha(0) = 0$$

$$\alpha(\mu) > 0, \quad \mu > 0$$

$$\text{con } \alpha'(0) > 0, \quad \omega(\mu) > 0$$

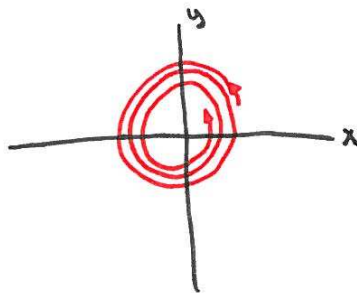


es decir el equilibrio para  $\mu < 0$  es un foco estable  
para  $\mu > 0$  es un foco inestable para  $\mu > 0$ . Notemos  
 que en el valor crítico  $\mu = 0$  la linealización predice un  
 centro pero no sabemos cuál es la conducta local  
 (recordar caso crítico del Teorema de Lyapunov)



La siguiente hipótesis hace referencia, precisamente, a la dinámica local para  $\mu=0$ ; su determinación, como veremos más adelante depende de los términos cuadráticos y cúbicos del desarrollo de  $F, G$  en  $(0,0,0)$ .

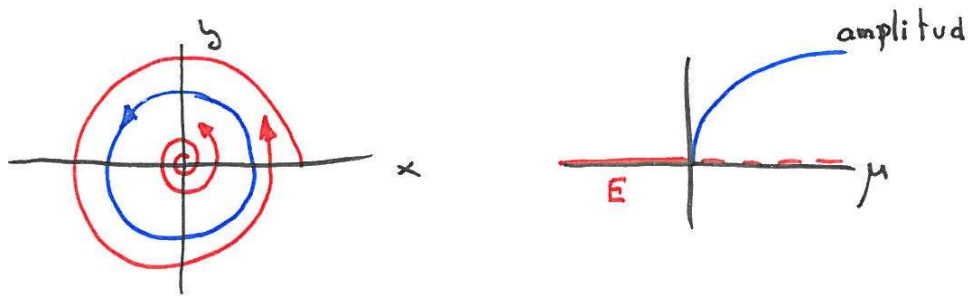
(H2) para  $\mu=0$  el equilibrio en el origen es tipo foco débil atractivo:



el término débil alude a que las orbitas, aunque son espirales, no son logarítmicas como en el caso lineal y así el radio polar se 'contrae' en cada vuelta de manera bien distinta (vid. infra)

Bajo las hipótesis  $H1$ ,  $H2$  se prueba:

existe para  $\mu > 0$  ciclo límite estable cuya amplitud crece con  $\sqrt{\mu}$  y cuyo periodo es aproximado por  $\frac{2\pi}{\omega(0)}$



Este sencillo mecanismo de generación de oscilaciones periódicas observables es muy utilizado tanto en el diseño de sistemas osciladores como en la ingeniería de control (para entartar)

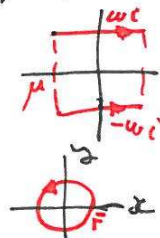
El ejemplo canónico:

$$\begin{pmatrix} \dot{x} \\ \dot{y} \end{pmatrix} = \mu \begin{pmatrix} x \\ y \end{pmatrix} + \begin{pmatrix} -y \\ x \end{pmatrix} \omega - a(x^2 + y^2) \begin{pmatrix} x \\ y \end{pmatrix} \quad ; \text{ está preparado; en polares}$$

$$\dot{r} = \mu r - ar^3 ; \quad \dot{\theta} = \omega > 0$$

parte lineal  $A(\mu) = \begin{pmatrix} \mu & -\omega \\ \omega & \mu \end{pmatrix} \Rightarrow H1$

$$\lambda, \bar{\lambda} = \mu \pm i\omega$$



$$(\mu - ar^2) \cdot r = 0 \Rightarrow r = 0 \text{ equilibrio } (0,0)$$

$$\bar{r} = \left(\frac{\mu}{a}\right)^{1/2} \quad \begin{matrix} \mu > 0 \\ a > 0 \end{matrix} \Rightarrow \begin{matrix} \bar{x} = \bar{r} \cos \omega t \\ \bar{y} = \bar{r} \sin \omega t \end{matrix}$$

solución  $\frac{2\pi}{\omega}$  - periódica

$\rightarrow$  para  $a > 0$   $\dot{r} = -ar^3$   $a > 0 \Rightarrow \dot{r} < 0 \Rightarrow r \downarrow \Rightarrow (0,0)$  foco de silla atractivo  $H2$

\* Notar la diferente conducta de las espirales para  $\mu \neq 0$  ( $\frac{dr}{d\theta} \approx \frac{\mu}{\omega} r$ )  
 y para  $\mu = 0$  ( $\frac{dr}{d\theta} = -\frac{a}{\omega} r^3$ )

Tarea: ¿que pasa cuando  $a < 0$ ?

Un ejemplo más realista:

nuestro sistema plano lineal a trozos y continuo en forma de Liénard:

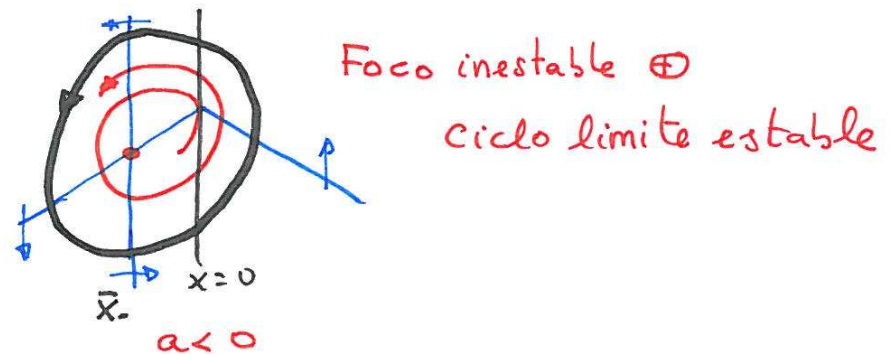
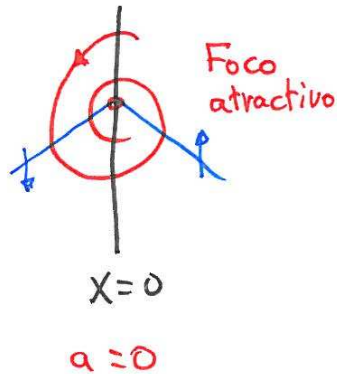
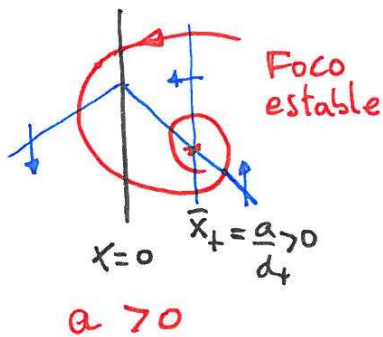
$$\dot{x} = k_r^+ x - y$$

$$\dot{y} = d_+^+ x - a$$

recordemos la receta :  $k_r^- > 0$ ,  $k_r^+ < 0$  ; Foco-Foco ;  
expansión      contracción

y  $\frac{k_r^+}{\sqrt{d_+^+}} + \frac{k_r^-}{\sqrt{d_+^-}} < 0$  (contracción global o el origen es foco atractivo en el caso homogéneo  $a=0$ )

Si tomamos "a" como parámetro de bifurcación (de control)



¿ como varían la amplitud y el periodo con el parámetro "a" ?